

דו"ח בטיחות מקדמי

PSAR-Preliminary Safety Analysis Report

תרחישי סיכון אפשריים.

רעידות אדמה

סערות

שיטפונות

תאונות

כשלי מערכת

טעויות עובדים

חבלות

איומים ביטחוניים

היעד הוא לאתר את התקלה האפשרית המרבית

Maximum Probable Accident

דו"ח ניתוח סיכונים

HAR-Hazard Analysis Report

תאור האמצעים הקיימים והמתוכננים

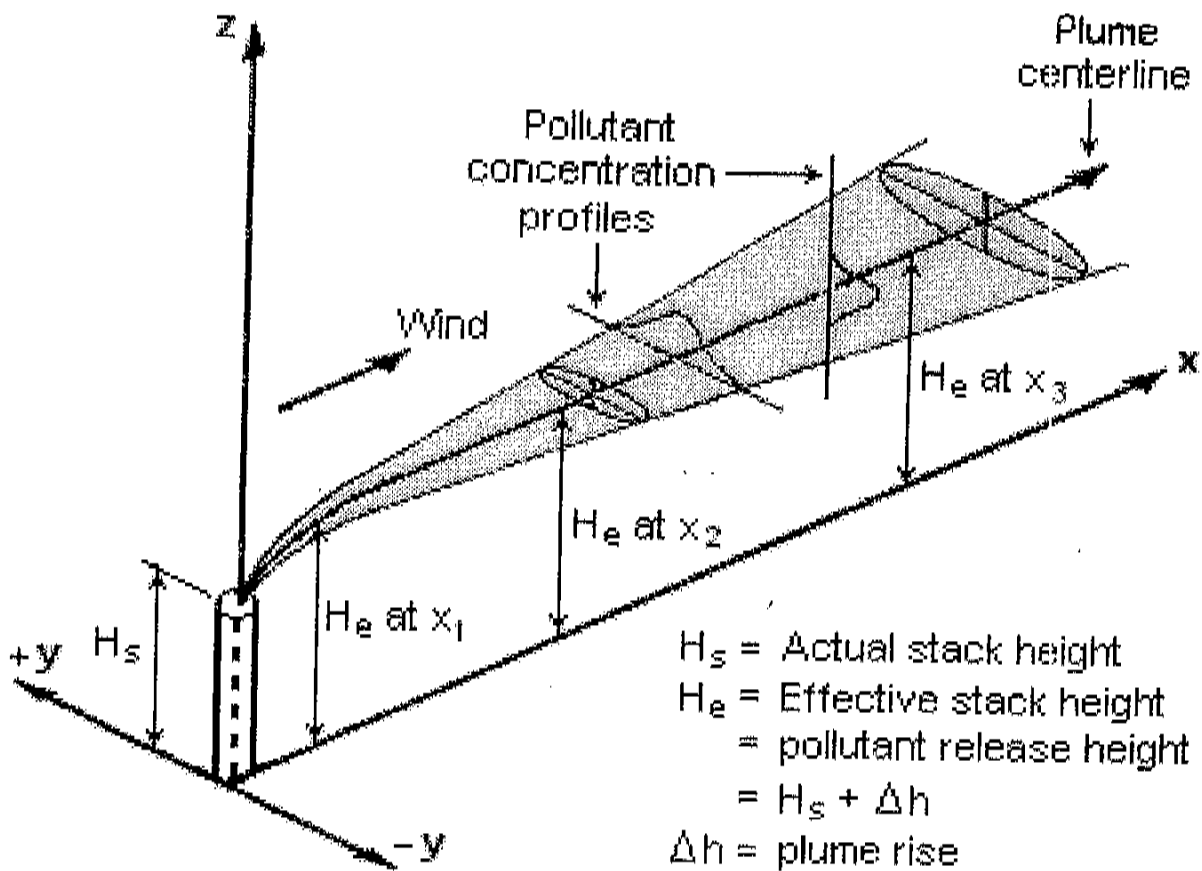
נהלי העבודה ברגיעה ובחרום

מיומנות נח האדם האמור לתפקד ברגיעה ובחרום

פילוג אוקלוסיה בסביבה (גורם משתנה)

דרכי תנועה

וכו'



Visualization of a buoyant Gaussian air pollutant dispersion plume

CLOSE

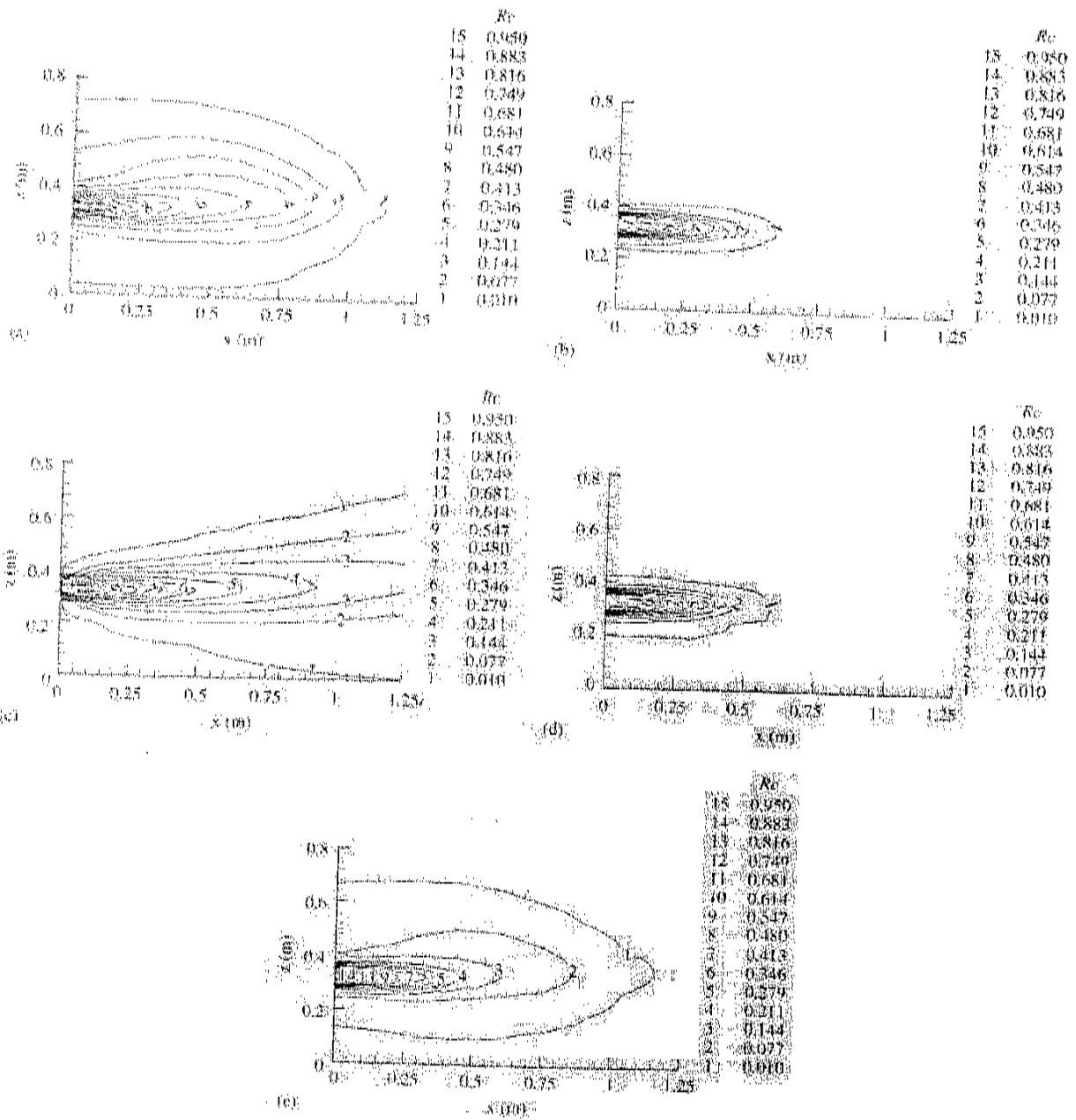


Fig. 5. Relative concentration,  $R_C$ , of CO distributions on  $x$ - $z$  plane along the streamwise distance of a vehicular exhaust plume at  $y=4$  m for vehicle A under a low idle and different ambient windflow conditions: (a) E direction, (b) S direction, (c) W direction, (d) N direction and (e) WDFW approach used.

CLOSE

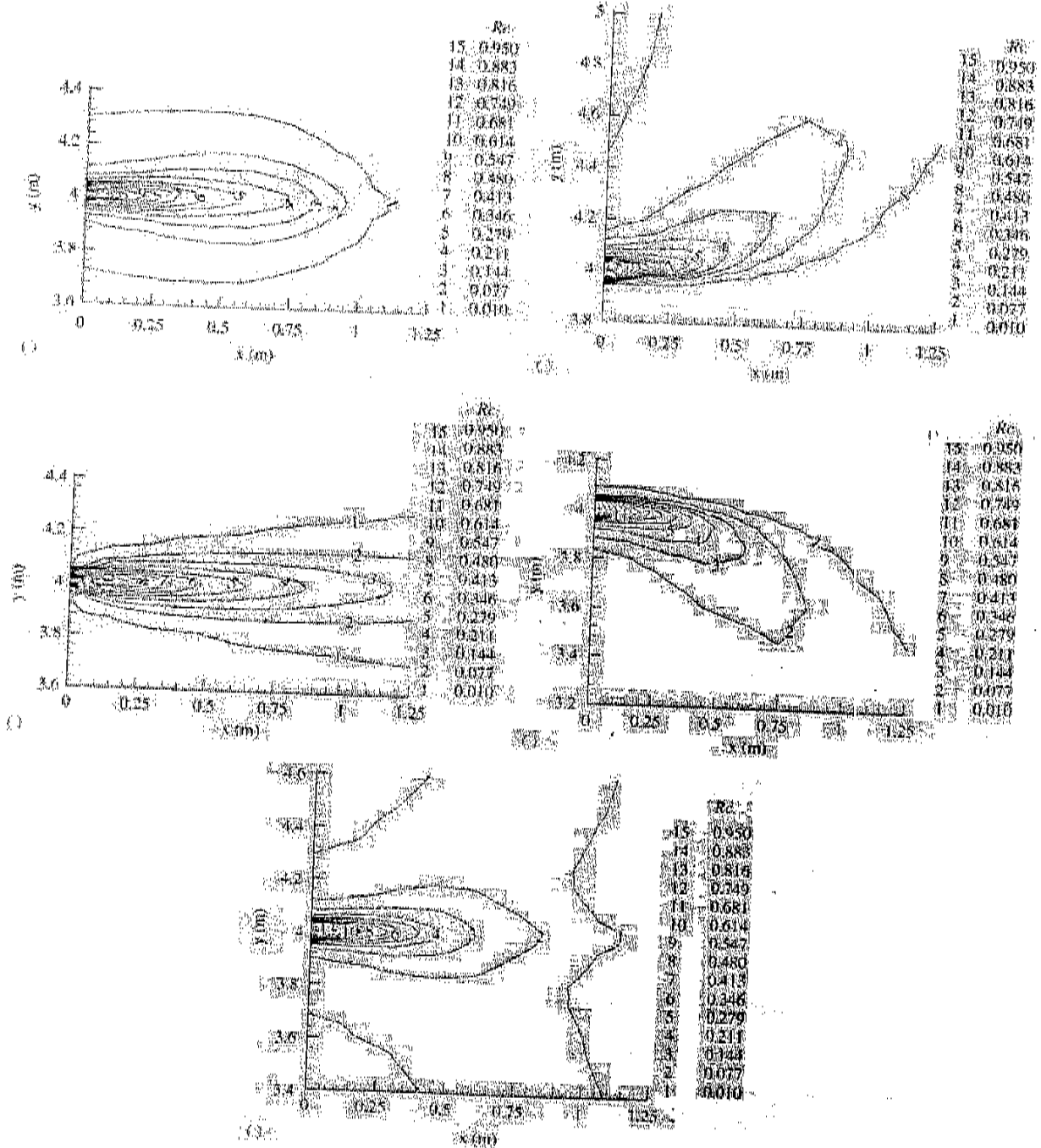


Fig. 6. Relative concentration,  $R_c$ , of CO distributions on  $x$ - $y$  plane along the streamwise distance of a vehicular exhaust plume at  $z=0.32$  m for vehicle A under a low idle and different ambient windflow conditions: (a) E direction, (b) S direction, (c) W direction, (d) N direction and (e) WDFW approach used.

CLOSE

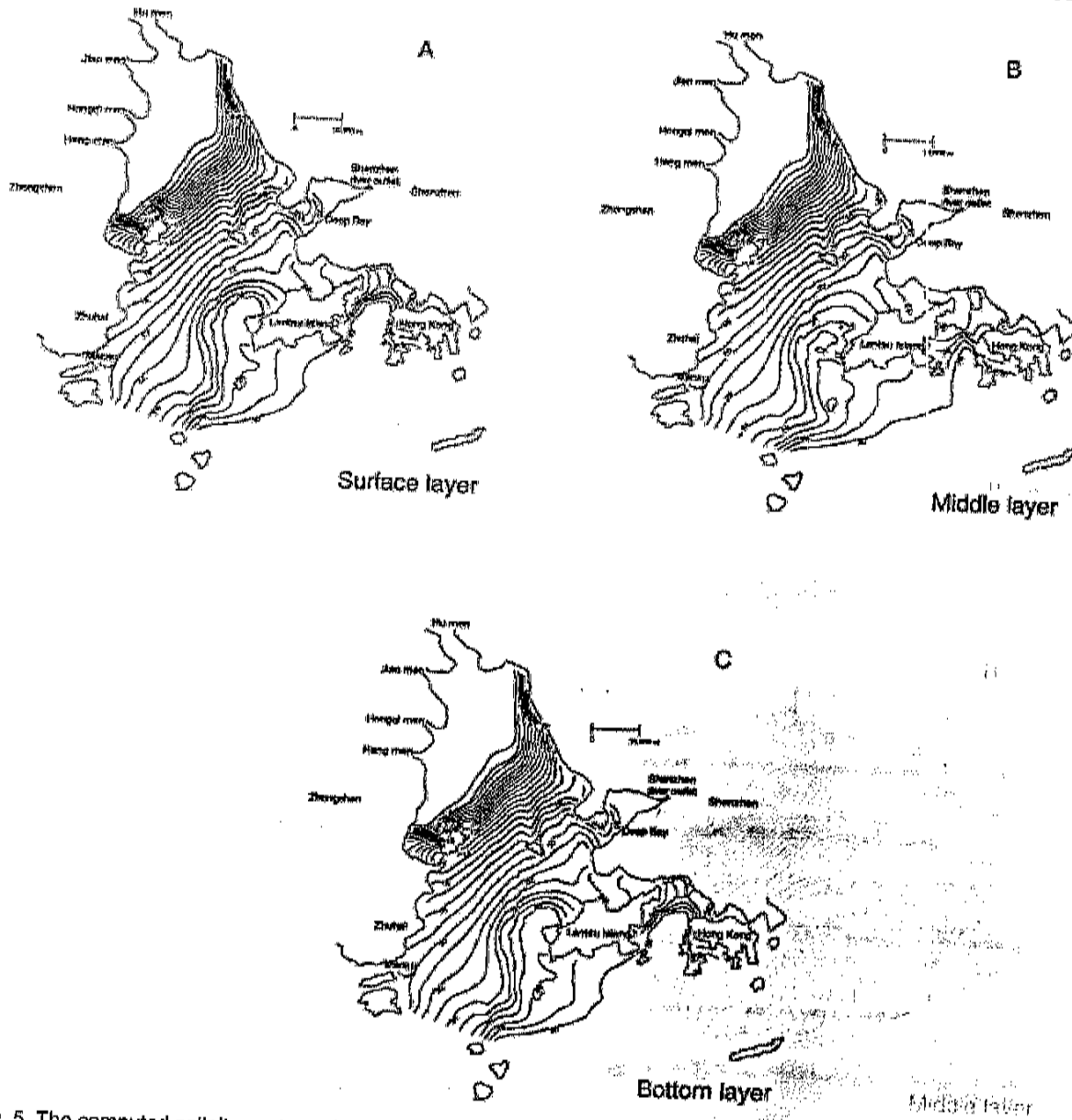


Fig. 5. The computed salinity contour of three layers in wet season: (A) surface, (B) middle and (C) bottom.